

**POHON-POHON RENTANG INDEPENDEN DALAM GRAPH BERATURAN**

**Otniel Sukma Priyambodo**

Jurusan Matematika, FMIPA, Universitas Negeri Surabaya  
e-mail : otniel.18034@mhs.unesa.ac.id

**I Ketut Budayasa**

Jurusan Matematika, FMIPA, Universitas Negeri Surabaya  
e-mail:ketutbudayasa@yahoo.com

**Abstrak**

Pohon-pohon perentang  $T_1, T_2, \dots, T_k$  pada graf  $G$  disebut pohon-pohon perentang independen lengkap jika pohon-pohon perentang tersebut perpasang pisah-sisi dan pisah-titik secara internal. Fokus permasalahan dalam artikel ini adalah mencari pohon perentang independen lengkap pada graf sedemikian hingga pohon-pohon perentang tersebut pisah-sisi dan pisah-titik secara internal. Dua pohon perentang  $T_1$  dan  $T_2$  pada graf  $G$  disebut pisah-sisi, jika  $E(T_1) \cap E(T_2) = \emptyset$  dan dua pohon perentang  $T_1$  dan  $T_2$  pada graf  $G$  disebut pisah-titik secara internal jika untuk setiap  $u, v$  anggota himpunan  $V(G)$ ,  $P_{T_1}(u, v) \cap P_{T_2}(u, v) = \{u, v\}$ . Untuk graf beraturan  $2r$ , seperti pada produk Kartesius graf  $K_{2r} \otimes P_n$  terdapat 3 pohon-pohon perentang yang independen lengkap. Pohon-pohon perentang independen lengkap dapat diterapkan pada masalah komunikasi yang fokusnya terhadap kesalahan dalam jaringan interkoneksi.

**Kata Kunci:** Pohon perentang independen lengkap, pohon perentang pisah-sisi, pohon perentang pisah-titik secara internal, produk cartesius graf.

**Abstract**

Spanning trees  $T_1, T_2, \dots, T_k$  on graph  $G$  are said to be complete independent spanning trees if the spanning trees are a pair of edge-disjoint and internally vertex-disjoint. The focus of the problem in this article is to find a complete independent spanning tree on a graph such that the spanning trees are edge-disjoint and internally vertex-disjoint. Two spanning trees and graph  $G$  are said to be edge-disjoint if  $E(T_1) \cap E(T_2) = \emptyset$  and two spanning trees on graph  $G$  are said to be internally vertex-disjoint if for each  $u, v$  members of the set  $V(G)$ ,  $P_{T_1}(u, v) \cap P_{T_2}(u, v) = \{u, v\}$ . For a  $2r$  regular graph, as in the Cartesian multiplication graph, there are 3 completely independent spanning trees. Completely independent spanning trees can be applied to communication problems that focus on faults in interconnecting networks.

**Keywords:** completely independent spanning tree, edge-disjoint spanning tree, internally vertex-disjoint spanning tree, Cartesian multiplication graph.

**PENDAHULUAN**

Dua pohon perentang  $T_1$  dan  $T_2$  pada graf  $G$  disebut pisah-sisi, jika  $E(T_1) \cap E(T_2) = \emptyset$ . Sebuah pohon  $T$  setiap dua titik berbeda dihubungkan oleh tepat satu lintasan. Misalkan  $u, v \in V(T)$ . Himpunan semua titik lintasan tunggal yang menghubungkan  $u$  dan  $v$  dilambangkan  $P_T(u, v)$ . Dua pohon perentang  $T_1$  dan  $T_2$  pada  $G$  disebut pisah-titik secara internal jika untuk setiap  $u, v$  anggota himpunan  $V(G)$ ,  $P_{T_1}(u, v) \cap P_{T_2}(u, v) = \{u, v\}$ . Sehingga,  $T_1, T_2, \dots, T_k$  adalah pohon-pohon perentang yang independen lengkap jika pisah-sisi dan pisah-titik secara internal. Perhatikan bahwa setiap  $1 \leq i \leq k$ , himpunan semua titik pada  $T_i$  membentuk himpunan Graf terhubung. Jadi, jika terdapat  $k$  pohon perentang  $T_1$  dan  $T_2$  pada graf  $G$

yang pisah sisi, maka terdapat  $k$  himpunan Graf terhubung yang pisah-titik secara internal.

Pohon perentang telah dipelajari secara mendalam karena sangat praktis dalam sistem komunikasi pada penyiaran jaringan interkoneksi. Pohon perentang sering digunakan dalam berbagai operasi jaringan seperti; komputasi pohon perentang independen lengkap menjamin kesinambungan layanan, karena masing-masing dapat digunakan sebagai pohon perentang cadangan jika terjadi kegagalan dalam titik pada pohon perentang. Dengan demikian, menghitung  $k$  pohon perentang independen lengkap memungkinkan untuk menangani hingga  $k-1$  titik independen. Dalam hal ini, sebuah jaringan sering dimodelkan dengan graf  $G$  di mana himpunan titik  $V(G)$  berkorespondensi dengan himpunan titik dan himpunan sisi  $E(G)$  dengan berhubungan langsung antar titik. Untuk

pohon, titik yang bukan daun disebut titik internal. Untuk titik  $u$  dari graf  $G$ , misalkan  $d_G(u)$  adalah derajat titik di  $G$  yaitu jumlah sisi  $G$  yang berhubungan langsung. Untuk kejelasannya, kita mengingat kembali definisi produk Kartesius. Produk Kartesius dua graf  $G$  dan  $H$ , dilambangkan dengan  $G \otimes H$  adalah sebuah graf dengan himpunan titik  $V(G) \times V(H)$  dan himpunan sisi  $\{ (u, u')(v, v') / (u = v \wedge u'v' \in E(H)) \vee (u' = v' \wedge uv \in E(G)) \}$ . Konsep diatas akan digunakan untuk memecahkan permasalahan dalam artikel ini yaitu mencari sebuah pohon perentang independen lengkap pada graf sedemikian hingga pohon-pohon perentang tersebut pisah-sisi dan pisah-titik secara internal.

**1. KAJIAN TEORI**

Sebuah graf disebut terhubung, jika setiap dua titik pada graf dihubungkan oleh sebuah lintasan. Komponen sebuah graf adalah sebuah subgraf yang terhubung maksimal. Jadi, jika  $G$  graf terhubung, maka  $G$  memiliki tepat satu komponen. Sebaliknya, jika graf  $G$  tak terhubung, maka banyaknya komponen  $G$  paling sedikit dua. Graf  $G$  disebut graf beraturan- $k$  jika setiap titik  $G$  berderajat  $k$ . Graf lintasan yang dinotasikan dengan  $P_n$  adalah graf yang mempunyai tepat satu lintasan dengan  $n$  titik dan panjang  $n - 1$ . Pohon adalah graf terhubung dan tidak memuat sikel. Graf yang setiap komponennya berupa pohon disebut hutan (*forest*). Sifat-sifat pohon sebagai berikut.

Jika  $G$  graf pohon, maka untuk setiap dua titik  $u$  dan  $v$  yang berbeda di  $G$  terdapat satu lintasan yang menghubungkan kedua titik tersebut.

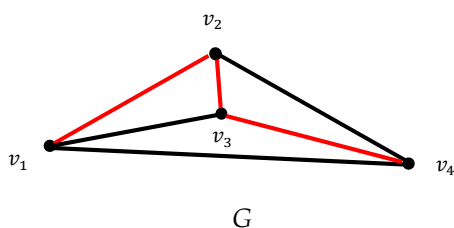
Banyaknya sisi dari sebuah pohon  $G$  sama dengan banyaknya titik dikurangi 1,  $|V(G)| = |E(G)| - 1$

Setiap pohon dengan paling sedikit dua titik yang berderajat satu.

**Definisi 1:** Misalkan  $G$  graf terhubung. Sebuah pohon  $T$  dalam  $G$  yang memuat semua titik  $G$  disebut pohon perentang.

**Definisi 2:** Dua pohon perentang  $T_1$  dan  $T_2$  pada graf  $G$  disebut pisah-sisi, jika  $E(T_1) \cap E(T_2) = \emptyset$ .

**Contoh 1:**



**Gambar 2.1**

$T_1$  pohon perentang pada  $G$  sisi-sisi “warna hitam”.  $T_2$  pohon perentang pada  $G$  sisi-sisi “warna merah”. Karena  $E(T_1) \cap E(T_2) = \emptyset$ , maka  $T_1$  dan  $T_2$  dua pohon perentang pada  $G$  pisah-sisi. Ingat bahwa dalam sebuah pohon  $T$  setiap dua titik berbeda dihubungkan oleh tepat satu lintasan.

Misalkan  $u, v \in V(T)$ . Himpunan semua titik lintasan tunggal yang menghubungkan  $u$  dan  $v$ , dilambangkan  $P_T(u, v)$ . Misalnya, dari Gambar 2.1, diperoleh

$$P_{T_1}(v_1, v_2) = \{ v_1, v_2, v_3, v_4 \}, P_{T_2}(v_1, v_2) = \{ v_1, v_2, \}$$

$$P_{T_1}(v_1, v_4) = \{ v_1, v_4, \}, P_{T_2}(v_1, v_4) = \{ v_1, v_2, v_3, v_4 \}.$$

**Definisi 3:** Misalkan  $G$  graf terhubung. Dua pohon perentang  $T_1$  dan  $T_2$  pada  $G$  disebut pisah-titik secara internal jika untuk setiap  $u, v$  anggota himpunan  $V(G)$ ,  $P_{T_1}(u, v) \cap P_{T_2}(u, v) = \{u, v\}$ .

**Contoh 2:** Pohon perentang  $T_1$  dan  $T_2$  pada graf  $G$ , dalam Gambar 2.1, memenuhi Definisi-3, jadi  $T_1$  dan  $T_2$  saling pisah-titik secara internal.

Karena untuk setiap  $u, v$  anggota himpunan  $V(G)$ ,  $P_{T_1}(u, v) \cap P_{T_2}(u, v) = \{u, v\}$ , maka  $T_1$  dan  $T_2$  pada graf  $G$  pisah-titik secara internal.

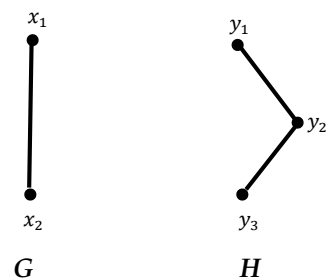
**Definisi 4:** Pohon-pohon perentang  $T_1, T_2, \dots, T_k$  pada graf  $G$  disebut pohon-pohon perentang independen lengkap jika pohon-pohon perentang tersebut perpasang pisah-sisi dan pisah-titik secara internal.

**Contoh 3:** Pohon perentang  $T_1$  dan  $T_2$  pada graf  $G$ , dalam Gambar 2.1, pisah-sisi ( Contoh 1 ) dan pisah-titik secara internal ( Contoh 2 ). Sehingga  $T_1$  dan  $T_2$  pohon-pohon perentang independen lengkap  $G$ .

Perhatikan bahwa setiap  $1 \leq i \leq k$ , himpunan semua titik pada  $T_i$  membentuk himpunan Graf terhubung. Jadi, jika terdapat  $k$  pohon perentang  $T_1$  dan  $T_2$  pada graf  $G$  yang pisah sisi, maka terdapat  $k$  himpunan Graf terhubung yang pisah-titik secara internal.

**Definisi 5:** Produk Kartesius dua graf  $G$  dan  $H$ , dilambangkan dengan  $G \otimes H$ , adalah sebuah graf dengan himpunan titik  $V(G) \times V(H)$  dan himpunan sisi  $\{ (u, u')(v, v') / (u = v \wedge u'v' \in E(H)) \vee (u' = v' \wedge uv \in E(G)) \}$ .

**Contoh 5.1:**



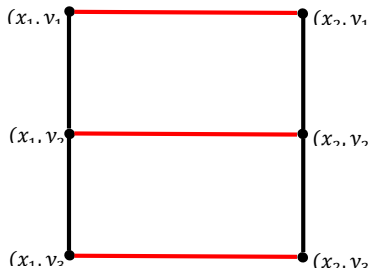
Dari gambar di atas,  $V(G) = \{ x_1, x_2 \}$  dan  $V(H) = \{ y_1, y_2, y_3 \}$ . Sehingga

$$V(G \otimes H) = V(G) \times V(H) = \{ (x_1, y_1), (x_1, y_2), (x_1, y_3), (x_2, y_1), (x_2, y_2), (x_2, y_3) \}$$

dan

$$E(G \otimes H) = \{ (x_1y_1), (x_1y_2), (x_1y_3), (x_2y_1), (x_2y_2), (x_2y_3), (x_1y_1), (x_2y_1), (x_1y_2), (x_2y_2), (x_1y_3), (x_2y_3) \}.$$

Gambar graf  $G \otimes H$  dapat dilihat seperti berikut:



$G \otimes H$   
Gambar 2.2

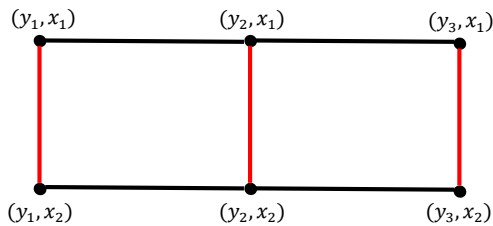
Untuk graf  $H \otimes G$  diperoleh,

$$V(H \otimes G) = V(H) \times V(G) = \{ (y_1, x_1), (y_1, x_2), (y_2, x_1), (y_2, x_2), (y_3, x_1), (y_3, x_2) \}$$

dan

$$E(H \otimes G) = \{ (y_1x_1), (y_1x_2), (y_2x_1), (y_2x_2), (y_3x_1), (y_3x_2), (y_1x_1), (y_2x_1), (y_3x_1), (y_1x_2), (y_2x_2), (y_3x_2) \}$$

Sehingga gambar graf  $H \otimes G$  seperti berikut

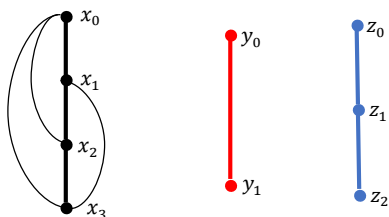


$H \otimes G$   
Gambar 2.3

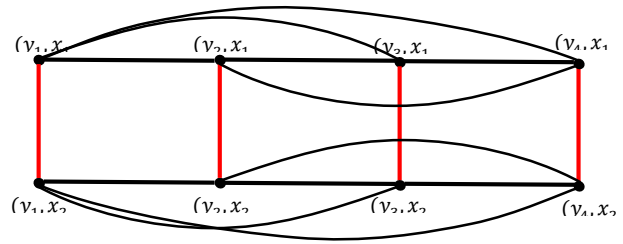
Perhatikan bahwa graf  $G \otimes H$  isomorfik dengan graf  $H \otimes G$ ; yakni, terdapat fungsi bijektif  $\alpha: V(G \otimes H) \rightarrow V(H \otimes G)$  yang mengawetkan keterhubungan langsung antar dua titik.

**Contoh 5.2**

Diberikan graf Komplet  $K_4$ , lintasan  $P_2$ , dan lintasan  $P_3$  berikut

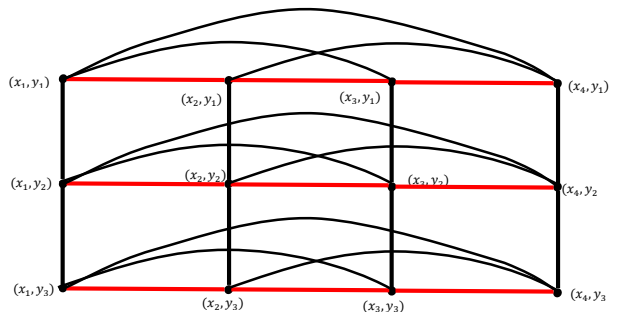


Graf  $K_4 \otimes P_2$  dapat dilihat pada gambar berikut



Gambar 2.4

Graf  $K_4 \otimes P_3$  dapat dilihat pada gambar berikut



Gambar 2.5

Produk Kartesius graf Komplet dan lintasan atau siklus

Diberikan graf Komplet  $K_m$  dengan  $\geq 3$ , lintasan  $P_n$  dengan  $n \geq 2$ , dan siklus  $C_n$  dengan  $n \geq 3$ . Misalkan

$$V(K_m) = \{ x_0, x_1, x_2, x_3, \dots, x_{m-1} \}$$

$$V(P_n) = V(C_n) = \{ y_0, y_1, y_2, y_3, \dots, y_{n-1} \}$$

Untuk  $0 \leq i \leq m-1, 0 \leq j \leq n-1$ , titik  $(x_i, y_j)$  dari graf  $K_m \otimes P_n$  atau  $K_m \otimes C_n$ , demi efisiensi, disimbolkan dengan  $U_i^j$ . Sehingga,

$$V(K_m \otimes P_n) = V(K_m \otimes C_n)$$

$$= \{ U_i^j \mid 0 \leq i \leq m-1, 0 \leq j \leq n-1 \}$$

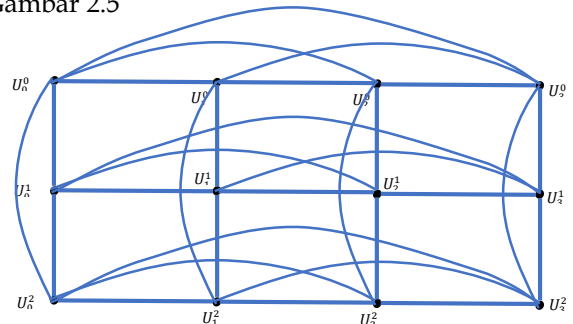
dan

$$E(K_m \otimes P_n) = \{ U_i^j U_k^j \mid 0 \leq i \leq m-1, i \neq k, 0 \leq j \leq n-1 \}$$

$$\cup \{ U_i^j U_k^{j+1} \mid 0 \leq i \leq m-1, 0 \leq j \leq n-2 \}$$

$$E(K_m \otimes C_n) = E(K_m \otimes P_n) \cup \{ U_i^0 U_k^{n-1} \mid 0 \leq i \leq m-1 \}$$

Produk Kartesius graf  $K_4$  dan  $P_3$ , dapat dilihat pada Gambar 2.5



Graf  $K_4 \otimes C_3$   
Gambar 2.6

**Definisi 6:** Misal  $G$  graf terhubung dengan  $n$  titik dan  $T$  sebuah pohon perentang di  $G$ . Misal  $G'$  subgraf  $G$  beraturan- $2r$  memuat  $r$  pohon-pohon perentang independen lengkap  $T_1, T_2, \dots, T_r$ .

- Himpunan titik internal  $T$ , dilambangkan dengan  $IN(T)$ , didefinisikan sebagai berikut.

$$IN(T) = \{v \in V(T) | d_T(v) \geq 2\}$$

- Derajat ekstra potensial dari  $T$ , dilambangkan  $ped(T)$ , didefinisikan sebagai berikut.

$$ped(T) = |IN(T)|r - n + 2$$

- Himpunan sisi  $G'$  diluar  $T_1, T_2, \dots, T_r$  adalah

$$E^L(G') = E(G') - \bigcup_{1 \leq i \leq r} E(T_i).$$

- Himpunan bagian  $E^L(G')$  yang mempunyai dua titik-titik akhir di  $IN(T_i)$ , dilambangkan dengan

$$E_{T_i}^L(G') = \{uv \in E(G') / u, v \in IN(T_i), u, v \notin E(T_i)\}$$

$$\text{untuk } 1 \leq i \leq r$$

**Contoh 6.1:**

Misalkan graf  $G = K_6 \otimes P_3$  pada Gambar 3.1. Graf  $G' = G - \{U_0^1 U_3^1, U_1^1 U_4^1, U_2^1 U_5^1\}$  adalah graf beraturan-6 memuat 3 pohon perentang independen lengkap  $T_1$  (merah),  $T_2$  (biru),  $T_3$  (hitam).

$$IN(T_1) = \{U_0^0, U_3^0, U_0^1, U_3^1, U_0^2, U_3^2\};$$

$$IN(T_2) = \{U_1^0, U_4^0, U_1^1, U_4^1, U_1^2, U_4^2\};$$

$$IN(T_3) = \{U_2^0, U_5^0, U_2^1, U_5^1, U_2^2, U_5^2\};$$

Derajat ekstra potensial dari pohon perentang  $T_1$  adalah

$$ped(T_1) = 6(3) - 18 + 2 = 2$$

Begitu juga  $ped(T_2) = ped(T_3) = 2$ .

Himpunan sisi  $G'$  diluar  $T_1, T_2, T_3$  adalah

$$E^L(G') = \{U_0^2 U_3^2, U_1^2 U_4^2, U_2^2 U_5^2\}$$

Perhatikan bahwa,

$$E_{T_1}^L(G') = \{U_0^2 U_3^2\} \text{ dan}$$

$$E_{T_1}^L(G) = \{U_0^1 U_3^1, U_0^2 U_3^2\}$$

Perhatikan bahwa, untuk setiap pohon perentang  $T$ ,  $ped(T) \geq 0$ .

**2. HASIL DAN PEMBAHASAN**

**Teorema 1:** Misalkan  $G$  graf terhubung dan  $k$  bilangan bulat dengan  $k \geq 2$ .  $T_1, T_2, \dots, T_k$  pohon-pohon perentang independen lengkap pada  $G$  jhj  $T_1, T_2, \dots, T_k$  pisah-sisi pada  $G$  dan  $\forall v \in V(G)$  terdapat paling banyak satu  $T_i$  dengan  $d_{T_i}(v) > 1$ .

**Bukti:**

$\Leftarrow$

Misalkan  $T_1, T_2, \dots, T_k$  pohon-pohon perentang di  $G$  pisah sisi dan  $\forall v \in V(G)$  terdapat paling banyak satu  $T_i$  dengan  $d_{T_i}(v) > 1$ . Andaikan  $T_1, T_2, \dots, T_k$  pohon-pohon perentang tidak independen lengkap

pada  $G$ . Maka terdapat dua titik  $u$  dan  $v$  dan dua pohon perentang  $T_i$  dan  $T_j$  sedemikian hingga lintasan-lintasan dari  $u$  ke  $v$  di  $T_i$  dan  $T_j$  tidak pisah internal. Karena  $T_i$  dan  $T_j$  pisah sisi, lintasan-lintasan dari  $u$  ke  $v$  tersebut mempunyai sebuah titik persekutuan  $w$  selain  $u$  dan  $v$ . Ini berakibat,  $d_{T_i}(w) > 1$  dan  $d_{T_j}(w) > 1$ , sebuah kontradiksi.

$\Rightarrow$

Misalkan  $T_1, T_2, \dots, T_k$  pohon-pohon perentang independen lengkap pada graf  $G$

Berdasarkan Definisi 4,  $T_1, T_2, \dots, T_k$  pohon-pohon perentang pisah sisi pada  $G$

Andaikan ada sebuah titik  $w$  di graf  $G$  sedemikian hingga  $d_{T_i}(w) > 1$  dan  $d_{T_j}(w) > 1$ . Ini berarti, ada paling sedikit dua sisi  $T_1$  terkait dengan titik  $w$ . Begitu juga ada paling sedikit dua sisi  $T_2$  terkait dengan titik  $w$ .

Misalkan  $v$  elemen  $V(G)$  dan  $v \neq w$ . Misalkan  $wt_1$  sisi pertama pada lintasan dari  $w$  ke  $v$  di pohon  $T_1$  dan  $wt_2$  sisi pertama pada lintasan dari  $w$  ke  $v$  di pohon  $T_2$ . Misalkan  $u_1$  sebuah titik di  $G$  sedemikian lintasan dari  $w$  ke  $u_1$  di pohon  $T_1$  tidak memuat sisi  $wt_1$ , dan  $u_2$  sebuah titik di  $G$  sedemikian lintasan dari  $w$  ke  $u_2$  di pohon  $T_2$  tidak memuat sisi  $wt_2$ . Keberadaan titik  $u_1$  dan  $u_2$  dijamin oleh  $d_{T_1}(w) \geq 2$  dan  $d_{T_2}(w) \geq 2$ . Perhatikan, lintasan dari  $u_1$  ke  $v$  di  $T_1$  dan lintasan dari  $u_2$  ke  $v$  di  $T_2$  memuat titik  $w$ , maka  $u_1 \neq u_2$ .

Karena  $T_1$  dan  $T_2$  independen, maka lintasan dari  $u_1$  ke  $v$  di  $T_1$  dan lintasan dari  $u_1$  ke  $v$  di  $T_2$  tidak memuat titik  $w$ .

Sekarang misalkan  $T_1$  sebagai pohon perentang di  $G$  berakar di titik  $w$ . Maka  $u_1$  dan  $v$  terletak dalam subpohon  $T_1$  yang sama, sedangkan  $u_2$  dan  $v$  terletak dalam subpohon  $T_1$  yang berbeda. Sehingga  $u_1$  dan  $u_2$  terletak dalam subpohon  $T_1$  yang berbeda. Begitu juga di  $T_2$ . Demikian juga, jika  $T_2$  dipandang sebagai sebuah pohon perentang  $G$  berakar di titik  $w$ , maka  $u_1$  dan  $u_2$  terletak dalam subpohon  $T_2$  yang berbeda. Jadi, lintasan dari  $u_1$  ke titik  $u_2$  di pohon  $T_1$  dan pohon  $T_2$  memuat titik  $w$  sebagai titik internal, ini kontradiksi bahwa  $T_1$  dan  $T_2$  independen lengkap. Jadi, untuk setiap titik  $v$  di graf  $G$ , terdapat paling banyak satu  $T_i$  dengan  $d_{T_i}(v) > 1$

Dengan demikian, bukti teorema lengkap. ■

Dengan memperhatikan Definisi 5, diperoleh banyak titik dan banyak sisi produk kartesius dua graf seperti berikut

**Lemma 2:** Misalkan  $G_1$  graf sederhana dengan  $n_1$  titik dan  $m_1$  sisi dan  $G_2$  graf sederhana dengan  $n_2$  titik dan  $m_2$  sisi. Maka

(i)  $|V(G_1 \otimes G_2)| = n_1 n_2$  dan

(ii)  $|E(G_1 \otimes G_2)| = n_1 m_2 + n_2 m_1$

**Bukti:**

- (i) Dari Definisi 5,

$$\begin{aligned} V(G_1 \otimes G_2) &= V(G_1) \times V(G_2) \\ \text{Sehingga,} \\ |V(G_1 \otimes G_2)| &= |V(G_1) \times V(G_2)| \\ &= |V(G_1)| \times |V(G_2)| \\ &= n_1 \times n_2 \\ &= n_1 n_2 \end{aligned}$$

(ii) Misalkan  $(x, y) \in V(G_1 \otimes G_2)$ .

Berdasarkan Definisi 5,

$$d_{G_1 \otimes G_2}((x, y)) = d_{G_1}(x) + d_{G_2}(y)$$

Jumlah kedua ruas untuk semua titik  $(x, y)$  pada graf  $G_1 \otimes G_2$ , diperoleh

$$\begin{aligned} \sum_{(x,y) \in V(G_1 \otimes G_2)} d_{G_1 \otimes G_2}((x, y)) &= \\ \sum_{(x,y) \in V(G_1 \otimes G_2)} [d_{G_1}(x) + d_{G_2}(y)] &= \\ = |V(G_2)| \sum_{x \in V(G_1)} d_{G_1}(x) + |V(G_1)| \sum_{y \in V(G_2)} d_{G_2}(y) \end{aligned}$$

Dengan menerapkan Teorema Jabat Tangan (TJT) pada graf  $G_1$  dan  $G_2$ , diperoleh

$$\sum_{(x,y) \in V(G_1 \otimes G_2)} d_{G_1 \otimes G_2}((x, y)) = 2|V(G_2)| |E(G_1)| + 2|V(G_1)| |E(G_2)|$$

Terapkan TJT pada graf  $G_1 \otimes G_2$ , diperoleh

$$\begin{aligned} |E(G_1 \otimes G_2)| &= \frac{1}{2} \sum_{(x,y) \in V(G_1 \otimes G_2)} d_{G_1 \otimes G_2}((x, y)) \\ &= \frac{1}{2} \{ 2|V(G_2)| |E(G_1)| + 2|V(G_1)| |E(G_2)| \} \\ &= |V(G_1)| |E(G_2)| + |V(G_2)| |E(G_1)| \\ &= n_1 n_2 + n_2 m_1 \end{aligned}$$

Dengan demikian, bukti Lemma lengkap ■

**Teorema 3:** Misalkan  $n$  dan  $r$  bilangan -bilangan bulat dengan  $n \geq 2$  dan  $r \geq 2$ . Maka terdapat  $r$  pohon perentang independen lengkap dalam graf  $K_{2r} \otimes P_n$ .

**Bukti:**

Karena  $|V(K_{2r})| = 2r$  ;  $|E(K_{2r})| = r(2r - 1)$  dan  $|V(P_n)| = n$  ;  $|E(P_n)| = n - 1$

maka, berdasarkan Lemma 2, diperoleh

$$\begin{aligned} |V(K_{2r} \otimes P_n)| &= 2nr, \text{ dan} \\ |E(K_{2r} \otimes P_n)| &= 2r(n - 1) + n(r(2r - 1)) \\ &= 2nr^2 + nr - 2r \end{aligned}$$

Karena graf  $K_{2r} \otimes P_n$  terhubung dan mempunyai  $2nr$  titik, maka  $K_{2r} \otimes P_n$  memuat pohon perentang dengan  $2nr - 1$  sisi

Selanjutnya, untuk  $1 \leq i \leq r$ , pohon perentang  $T_i$  dalam graf  $K_{2r} \otimes P_n$  dikonstruksi sebagai berikut :

$$E(T_i) = E_1 \cup E_2 \cup E_3$$

dimana,

$$\begin{aligned} E_1 &= \{U_{i-1}^j U_{i-1}^{j+1}, U_{r+i-1}^j U_{r+i-1}^{j+1} \mid 0 \leq j \leq n - 2\} \\ E_2 &=; \{U_{i-1}^0 U_{r+i-1}^0\} \\ E_3 &= \{U_{i-1}^j U_{i+k}^j, U_{r+i-1}^j U_{r+i+k}^j \mid 0 \leq k \leq r - 2, 0 \leq j \leq n - 1\} \end{aligned}$$

Perhatikan bahwa

$$|E_1| = 2(n - 1) = 2n - 2 ; \text{ dan } |E_2| = 1 ; \text{ dan } |E_3| = 2n(r - 1)$$

dan himpunan-himpunan  $E_1, E_2, E_3$  pisah sisi.

Maka

$$\begin{aligned} |E(T_i)| &= |E_1| + |E_2| + |E_3| \\ &= 2(n - 1) + 1 + 2n(r - 1) \end{aligned}$$

$$= 2nr - 1$$

Ini berarti  $T_i$  sebuah pohon perentang pada graf  $K_{2r} \otimes P_n$

Perhatikan, untuk  $i \neq j, 1 \leq i, j \leq r$ ,

$$E(T_i) \cap E(T_j) = \emptyset$$

Ini berarti,  $T_1, T_2, \dots, T_r$  pohon-pohon perentang pada graf  $K_{2r} \otimes P_n$  saling pisah-sisi

Dengan konstruksi  $T_i$  seperti itu, diperoleh

$$d_{T_i}(x) = \begin{cases} r + 1 > 1 & \text{jika } x \in \{U_{i-1}^j, U_{r+i-1}^j \mid 0 \leq j \leq n - 2\} \\ r > 1, & \text{jika } x \in \{U_{i-1}^{n-1}, U_{r+i-1}^{n-1}\} \\ 1, & \text{untuk } x \text{ yang lain} \end{cases}$$

Karena hal ini berlaku untuk setiap  $1 \leq i \leq r$  berakibat untuk setiap titik  $x$  pada graf

$K_{2r} \otimes P_n$  terdapat paling banyak satu  $T_i$  sedemikian hingga  $d_{T_i}(x) > 1$

Berdasarkan Teorema 1, disimpulkan bahwa  $T_1, T_2, \dots, T_r$  adalah pohon-pohon perentang independen lengkap pada graf

Dengan demikian, bukti teorema lengkap ■

Sebagai ilustrasi pengkonstruksian pohon-pohon perentang bebas lengkap  $T_1, T_2, T_3$  pada graf  $K_{2r} \otimes P_n$  dapat dilihat pada gambar berikut. Dalam hal ini,  $r = 3$  dan  $n = 3$ . Mengikuti pengkonstruksian  $T_i$  dalam bukti Teorema di atas, diperoleh

$$\begin{aligned} E(T_1) &= \{U_0^0 U_0^1, U_3^0 U_3^1, U_0^1 U_0^2, U_3^1 U_3^2\} \cup \{U_0^0 U_0^0\} \\ &\cup \{U_0^0 U_1^0, U_0^0 U_2^0, U_0^1 U_1^1, U_0^1 U_2^1, U_0^2 U_1^2, U_0^2 U_2^2, \\ &U_3^0 U_4^0, U_3^0 U_5^0, U_3^1 U_4^1, U_3^1 U_5^1, U_3^2 U_4^2, U_3^2 U_5^2\} \end{aligned}$$

$$\begin{aligned} E(T_2) &= \{U_1^0 U_1^1, U_4^0 U_4^1, U_1^1 U_1^2, U_4^1 U_4^2\} \cup \{U_1^0 U_4^0\} \\ &\cup \{U_1^0 U_2^0, U_1^0 U_3^0, U_1^1 U_2^1, U_1^1 U_3^1, U_1^2 U_2^2, U_1^2 U_3^2, \\ &U_4^0 U_5^0, U_4^0 U_6^0, U_4^1 U_5^1, U_4^1 U_6^1, U_4^2 U_5^2, U_4^2 U_6^2\} \end{aligned}$$

$$\begin{aligned} E(T_3) &= \{U_2^0 U_2^1, U_5^0 U_5^1, U_2^1 U_2^2, U_5^1 U_5^2\} \cup \{U_2^0 U_5^0\} \\ &\cup \{U_2^0 U_3^0, U_2^0 U_4^0, U_2^1 U_3^1, U_2^1 U_4^1, U_2^2 U_3^2, U_2^2 U_4^2, \\ &U_5^0 U_6^0, U_5^0 U_7^0, U_5^1 U_6^1, U_5^1 U_7^1, U_5^2 U_6^2, U_5^2 U_7^2\} \end{aligned}$$

**Teorema 4:** Graf  $K_{2r} \otimes C_n$ , untuk  $n \geq 3$  dan  $r \geq 2$ , memuat  $r$  pohon-pohon perentang independen lengkap.

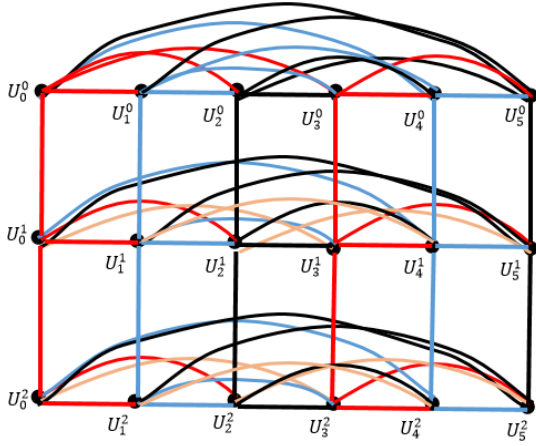
**Bukti:**

Karena  $V(K_{2r} \otimes C_n) = V(K_{2r} \otimes P_n)$ ,  $E(K_{2r} \otimes C_n) = E(K_{2r} \otimes P_n) \cup \{U_i^0 U_i^{n-1} \mid 0 \leq i \leq 2r - 1\}$

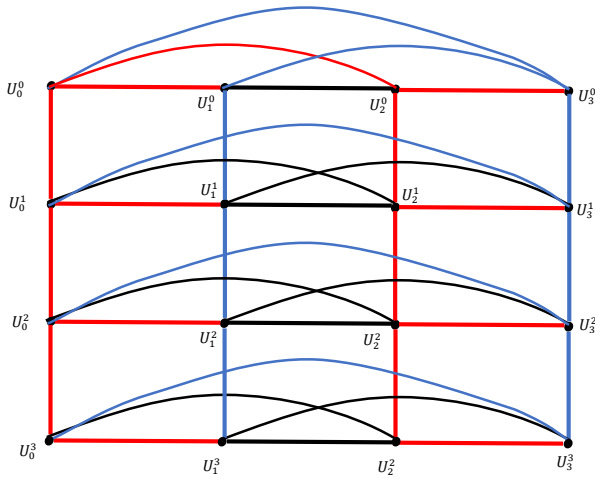
Maka  $K_{2r} \otimes P_n$  adalah sebuah graf bagian perentang dari graf  $K_{2r} \otimes C_n$ . Sehingga setiap pohon perentang pada graf  $K_{2r} \otimes P_n$  juga merupakan pohon perentang pada graf  $K_{2r} \otimes C_n$

Berdasarkan Teorema 3, pohon-pohon perentang  $T_1, T_2, \dots, T_r$  independen lengkap pada graf  $K_{2r} \otimes P_n$ , juga independen lengkap pada graf  $K_{2r} \otimes C_n$ .

Dengan demikian bukti teorema lengkap ■



Pohon-pohon perentang  $T_1, T_2, T_3$  bebas lengkap pada graf  $K_6 \otimes P_3$   
**Gambar 3.1**



$T_1$  dan  $T_2$  pohon-pohon perentang independen lengkap pada graf  $K_4 \otimes C_4$   
**Gambar 3.2**

**Lemma 5:** Misalkan  $G$  graf dengan  $n$  titik, beraturan- $2r$  dan memuat sebanyak  $r$  pohon perentang  $T_1, T_2, \dots, T_r$ . Maka sifat-sifat berikut dipenuhi:

- a) Untuk setiap  $i, 1 \leq i \leq r, \Delta(T_i) = r + 1$
- b) Untuk setiap  $i, 1 \leq i \leq r,$   
 $\left\lfloor \frac{n-2}{r} \right\rfloor \leq |IN(T_i)| \leq n - \left\lfloor \frac{n-2}{r} \right\rfloor (r-1)$
- c) Jika  $n \equiv 0 \pmod{r}$  dan  $r \geq 3,$  maka  $\forall i, 1 \leq i \leq r,$   
 $|IN(T_i)| = \frac{n}{r}$  dan  $ped(T_i) = 2$
- d)  $|E^L(G)| = r$
- e)  $\sum_{i=1}^r |E_{T_i}^L(G)| \leq r$

**Bukti:**

- a) Misalkan  $v \in V(T_i)$  untuk  $i \in \{1, 2, \dots, r\}$  jika  $v$  titik terminal dari  $T_i,$  maka  $d_{T_i}(v) = 1$

jika  $v$  titik internal  $T_i,$  maka  $d_{T_i}(v) \geq 2 \dots$  (1)

Berdasarkan Teorema 1,  $\forall j \neq i, 1 \leq j \leq r,$   
 $d_{T_j}(v) = 1 \dots$  (2)

Karena  $G$  beraturan- $2r,$   
 $\forall v \in V(G), d_G(v) = 2r \dots$  (3)

Dari (1),(2),(3), diperoleh

$$\begin{aligned} d_{T_i}(v) &= d_G(v) - \sum_{j=1, j \neq i}^r d_{T_j}(v) \\ &= 2r - (r-1) \\ &= r + 1 \end{aligned}$$

Dengan demikian,

$$\Delta(T_i) = d_{T_i}(v) = r + 1 \quad \blacksquare$$

- b) Karena  $T_i$  pohon-pohon perentang di  $G$  dengan  $n$  titik, maka  $|V(T_i)| = |V(G)| = n$  dan

$$|E(T_i)| = |V(T_i)| - 1 = n - 1$$

Berdasarkan Teorema Jabat-Tangan,  
 $\sum_{v \in V(T_i)} d_{T_i}(v) = 2|E(T_i)|$   
 $= 2(n-1)$   
 $= 2n - 2 \dots$  (4)

Karena

$$\begin{aligned} \sum_{v \in V(T_i)} d_{T_i}(v) &= \sum_{v \in IN(T_i)} d_{T_i}(v) + \sum_{v \in V(T_i) - IN(T_i)} d_{T_i}(v) \leq |IN(T_i)|\Delta(T_i) + \sum_{v \in V(T_i) - IN(T_i)} 1 \\ &= |IN(T_i)|(r+1) + |V(T_i) - IN(T_i)| \quad (\text{berdasarkan sifat (a)}) \\ &= |IN(T_i)|(r+1) + |V(T_i)| - |IN(T_i)| \\ &= |IN(T_i)|r + n \dots \quad (5) \end{aligned}$$

Dari (4) dan (5) diperoleh

$$2n - 2 \leq |IN(T_i)|r + n$$

ekuivalen dengan

$$|IN(T_i)| \geq \frac{n-2}{r}$$

Karena  $|IN(T_i)|$  bilangan bulat, maka

$$|IN(T_i)| \geq \left\lceil \frac{n-2}{r} \right\rceil \dots \quad (6)$$

Karena  $T_1, T_2, \dots, T_r$  independen lengkap, berdasarkan Teorema 1,

$$\sum_{i=1}^r |IN(T_i)| \leq n,$$

Sehingga

$$\begin{aligned} |IN(T_i)| &\leq n - \sum_{j=1, j \neq i}^r |IN(T_j)| \\ &\leq n - \sum_{j=1, j \neq i}^r \left\lceil \frac{n-2}{r} \right\rceil \\ &= n - \left\lceil \frac{n-2}{r} \right\rceil (r-1) \dots \quad (7) \end{aligned}$$

Dari (6) dan (7), disimpulkan

$$\left\lceil \frac{n-2}{r} \right\rceil \leq |IN(T_i)| \leq n - \left\lceil \frac{n-2}{r} \right\rceil (r-1) \quad \blacksquare$$

- c) Andaikan  $|IN(T_i)| \leq \frac{n}{r} - 1$ , maka berdasarkan Definisi 6,

$$ped(T_i) = |IN(T_i)|r - n + 2 \leq \left(\frac{n}{r} - 1\right)rn + 2$$

$$= 2 - r < 0 \text{ (karena } r \geq 3)$$

Kontradiksi. Akibatnya

$$|IN(T_i)| \geq \frac{n}{r} \dots (8)$$

Karena  $n \equiv 0 \pmod{r}$  dan  $r \geq 3$ , maka

$$\left\lfloor \frac{n-2}{r} \right\rfloor = \frac{n}{r}$$

Sehingga dari (b) diperoleh

$$\begin{aligned} |IN(T_i)| &\leq n - \left\lfloor \frac{n-2}{r} \right\rfloor (r-1) \\ &= n - \left(\frac{n}{r}\right)(r-1) \\ &= \frac{n}{r} \dots (9) \end{aligned}$$

Dari (8) dan (9) disimpulkan

$$|IN(T_i)| = \frac{n}{r}$$

Selanjutnya, berdasarkan Definisi 6,

$$\begin{aligned} ped(T_i) &= |IN(T_i)|r - n + 2 \\ &= \frac{n}{r} \cdot r - n + 2 \\ &= 2 \quad \blacksquare \end{aligned}$$

d) Karena  $\forall i, 1 \leq i \leq r, |E(T_i)| = n - 1$ , maka

$$\sum_{i=1}^r |E(T_i)| = r(n - 1) \dots (10)$$

Karena  $G$  beraturan- $2r$  dengan  $n$  titik,

Maka  $\sum_{v \in V(G)} d_G(v) = 2rn$ ,

Sehingga, berdasarkan Teorema Jabat Tangan,

$$|E(G)| = \frac{1}{2} \sum_{v \in V(G)} d(v) = rn \dots (11)$$

Dari (10) dan (11) diperoleh

$$\begin{aligned} |E^L(G)| &= |E(G)| - \sum_{i=1}^r |E(T_i)| \\ &= rn - r(n - 1) = r \quad \blacksquare \end{aligned}$$

(e) Karena setiap sisi dari  $E_{T_i}^L(G)$  juga berada dalam  $E^L(G)$  dan setiap sisi dari  $E^L(G)$  berada dalam paling banyak satu himpunan  $E_{T_i}^L(G)$  untuk suatu bilangan bulat  $i$ , maka dari sifat (d), diperoleh

$$\sum_{i=1}^r |E_{T_i}^L(G)| \leq r$$

Dengan demikian, bukti Lemma lengkap  $\blacksquare$

**Lemma 6:** Misalkan  $G$  graf beraturan- $2r$  dengan  $n$  titik memuat  $r$  pohon perentang independen lengkap  $T_1, T_2, \dots, T_r$ . Maka untuk setiap  $i, 1 \leq i \leq r$ , dan setiap sisi  $e$  di  $E_{T_i}^L(G)$ , titik-titik akhir sisi  $e$  berderajat paling banyak  $r$  di  $T_i$ . Lebih jauh  $ped(T_i) \geq 2|E_{T_i}^L(G)|$ .

**Bukti:**

Karena setiap sisi  $e = uv \in E_{T_i}^L(G)$ ,  $u$  dan  $v$  masing-masing merupakan titik internal  $T_i$ , maka derajat titik  $u$  dan titik  $v$  di pohon perentang  $T_i$  tidak lebih dari  $r$ . Akibatnya,  $ped(T_i) \geq 2|E_{T_i}^L(G)|$ .

Dengan demikian, Lemma terbukti  $\blacksquare$

**Lemma 7:** Misalkan  $G$  graf beraturan- $2r$  dengan  $n$  titik memuat  $r$  pohon perentang independen lengkap  $T_1, T_2, \dots, T_r$ . Maka ada pohon perentang  $T_i$  untuk suatu  $i, 1 \leq i \leq r$  memenuhi sifat berikut :

- a)  $|IN(T_i)| \leq \left\lfloor \frac{n}{r} \right\rfloor$
- b)  $ped(T_i) \leq 2$  dan  $|E_{T_i}^L(G)| \leq 1$ , dengan "ketaksamaan tegas "dipenuhi jika  $r$  tidak membagi  $n$ .

**Bukti:**

- a) Karena  $T_1, T_2, \dots, T_r$  pohon-pohon perentang independen lengkap di graf  $G$  dan banyak titik  $G$  adalah  $n$ , berdasarkan Teorema 1,  $\sum_{i=1}^r |IN(T_i)| \leq n \dots (1)$

Andaikan,  $\forall i, 1 \leq i \leq r, |IN(T_i)| \geq \left\lfloor \frac{n}{r} \right\rfloor + 1$ , Maka

$$\sum_{i=1}^r |IN(T_i)| \geq r \left( \left\lfloor \frac{n}{r} \right\rfloor + 1 \right) > n,$$

dan ini kontradiksi dengan (1).

- b) Karena dari (a),  $|IN(T_i)| \leq \left\lfloor \frac{n}{r} \right\rfloor$ , maka berdasar Definisi 6,  $ped(T_i) \leq r \left\lfloor \frac{n}{r} \right\rfloor - n + 2 \leq 2 \dots (2)$

Selanjutnya, dibuktikan  $|E_{T_i}^L(G)| \leq 1$ .

Andaikan  $|E_{T_i}^L(G)| \geq 2$ . Maka, berdasarkan Lemma 6,

$$ped(T_i) \geq 2|E_{T_i}^L(G)| \geq 4,$$

kontraktiksi dengan (2).

Akibatnya,  $|E_{T_i}^L(G)| < 2$  dan karena  $|E_{T_i}^L(G)|$  adalah bilangan bulat, maka  $|E_{T_i}^L(G)| \leq 1$ .

Perhatikan (2), jika  $n \not\equiv 0 \pmod{r}$ , maka

$$r \left\lfloor \frac{n}{r} \right\rfloor - n + 2 < 2, \text{ sehingga } ped(T_i) < 2$$

Sehingga ketaksamaan dipenuhi jika  $n$  bukan kelipatan  $r$  atau  $n \not\equiv 0 \pmod{r}$ .

Dengan demikian bukti Lemma lengkap  $\blacksquare$   
 Ingat kembali graf  $K_m \otimes C_n$  dengan  $m \geq 3$  dan  $n \geq 3$ .

Untuk  $j \in \{0, 1, \dots, n-1\}$ , subgraf  $K^j$  yang dibangun oleh himpunan titik

$\{U_i^j / 0 \leq i \leq m-1\}$  adalah graf Komplet dengan  $n$  titik dan selanjutnya disebut salinan- $K$ . Dalam mempelajari distribusi dari titik-titik internal dari pohon-pohon perentang dalam salinan- $K$  tersebut, misalkan untuk suatu pohon perentang  $T$  di  $K_m \otimes C_n$ ,

$$V_j(T) = IN(T) \cap V(K^j)$$

dan  $|V_j(T)| = n_j(T)$

**Lemma 8:** Misalkan  $a_i(T)$  menyatakan banyak salinan- $K$  yang memuat tepat  $i$  titik internal  $T$ . Distribusi titik-titik internal dalam salinan- $K$  yang berbeda adalah sebagai berikut :

- a) Jika  $n_j(T) \geq k$ , untuk suatu  $j$ , maka  $|E_T^L(K_{2r-1} \otimes C_n)| \geq \frac{1}{2}(k-1)(k-2)$ ,
- b)  $n_j(T) < 4, \forall j, 0 \leq j \leq n-1$
- c)  $a_3(T) \leq 1$
- d) Jika  $a_3(T) = 1$ , maka  $n \equiv 0(mod r)$  dan  $n \geq r$ .
- e) Jika  $a_0(T) = 0$ , maka  $a_3(T) \leq a_1(T) - \lfloor \frac{n}{r} \rfloor$ ;

khususnya

$$a_1(T) > a_3(T) \text{ dan } a_1(T) \geq \lfloor \frac{n}{r} \rfloor$$

**Bukti:**

- a) Ingat bahwa, banyak sisi graf Komplet dengan  $k$  titik adalah  $\frac{1}{2}k(k-1)$  dan hanya sebanyak  $k-1$  dari sisi-sisi tersebut terletak dalam  $T$ , sehingga

$$|E_T^L(K_{2r-1} \otimes C_n)| \geq \frac{1}{2}k(k-1)(k-1) = \frac{1}{2}(k-1)(k-2)$$

- b) dan c). Andaikan  $n_j(T) \geq 4$  untuk suatu  $j, 0 \leq j \leq n-1$  atau  $a_3(T) > 1$ . Berdasarkan sifat a),  $|E_T^L(K_{2r-1} \otimes C_n)| \geq \frac{1}{2}(3)(2) = 3$  ; kontradiksi dengan Lemma 7(b)

- d) Karena  $ped(T_i) \leq \lfloor \frac{n}{r} \rfloor r - n + 2$ , maka  $|E_T^L(K_{2r-1} \otimes C_n)| < 1$  saat  $n \not\equiv 0(mod r)$ .

- e) Dari (b), diperoleh  $|IN(T)| = a_1(T) + 2a_2(T) + 3a_3(T)$

dan

$$a_2(T) = n - a_1(T) - a_3(T).$$

Sehingga,

$$|IN(T)| = a_1(T) + 2(n - a_1(T) - a_3(T)) + 3a_3(T) \leq 2n - \lfloor \frac{n}{r} \rfloor$$

Maka

$$a_3(T) \leq a_1(T) - \lfloor \frac{n}{r} \rfloor,$$

dan akibatnya,

$$a_1(T) > a_3(T) \text{ dan } a_1(T) \geq \lfloor \frac{n}{r} \rfloor.$$

Dengan demikian, bukti Lemma lengkap ■  
Perhatikan bahwa, jika graf  $G$  memuat  $r$  pohon perentang independen lengkap  $T_1, \dots, T_r$ , maka untuk setiap  $i, 1 \leq i \leq r$ , setiap titik  $G$  berhubungan langsung dengan sebuah titik internal  $T_i$ .

**Teorema 9:** Misalkan  $n, r$  dua bilangan asli dengan  $n \geq 3$  dan  $r \geq 6$ . Maka graf  $K_{2r-1} \otimes C_n$  tidak memuat  $r$  pohon-pohon perentang independen lengkap.

**Bukti:**

Andaikan graf  $K_{2r-1} \otimes C_n$  memuat  $r$  pohon perentang independen lengkap. Berdasarkan Lemma 7, misalkan  $T$  sebuah pohon perentang yang memenuhi

$$(i) |IN(T_i)| \leq \lfloor \frac{n}{2} \rfloor, \text{ dan}$$

$$(ii) ped(T_i) \leq 2 \text{ dan } |E_T^L(G)| \leq 1, \text{ dengan "ketaksamaan tegas" dipenuhi jika } r \text{ tidak membagi } n.$$

jika sebuah salinan- $K$   $K^i, 1 \leq i \leq n$ , tidak memuat titik internal  $T$ , maka

$$n_{i-1}(T) + n_{i+1}(T) \geq 2r - 1 \geq 11$$

Akibatnya,

$$n_{i-1}(T) \geq 6 \text{ atau } n_{i+1}(T) \geq 6,$$

Ini kontradiksi dengan Lemma 8(b)

Sehingga  $a_0(T) = 0$ .

Karena  $n > r$ , maka dari Lemma 8(e),

$$a_1(T) \geq \lfloor \frac{n}{r} \rfloor \geq 1.$$

Sehingga, terdapat bilangan bulat  $i, 0 \leq i \leq n-1$ , sedemikian hingga  $n_i = 1$ . Misalkan  $u$  titik tunggal di  $V_i(T)$ . Titik  $u$  di  $T$  berhubungan langsung dengan sebuah titik dari  $V_{i-1}(T) \cup V_{i+1}(T)$  dan

$d_T(u) \leq r + 1$ . Maka  $u$  berhubungan langsung di  $T$  dengan paling banyak  $r$  titik di  $V(K^i)$ . Sehingga, paling sedikit  $r - 2 \geq 4$  tidak berhubungan langsung di  $T$  ke titik  $u$ . Oleh karena itu,  $r - 2$  titik-titik berhubungan langsung di  $T$  ke titik-titik di  $V_{i-1}(T) \cup V_{i+1}(T)$  dan akibatnya,

$$n_{i-1}(T) + n_{i+1}(T) \geq 5$$

Jadi,

$$n_{i-1}(T) \geq 3 \text{ atau } n_{i+1}(T) \geq 3$$

Tanpa menghilangkan keumuman, misal  $n_{i+1}(T) \geq 3$ .

Berdasarkan Lemma 8(b),  $n_{i+1}(T) \leq 3$ , sehingga

Dari Lemma 8(c), diperoleh  $a_3(T) = 1$ , sehingga dari Lemma 8(e), diperoleh  $a_1(T) \geq 2$ .

Misalkan  $i \neq j$ , sedemikian hingga  $n_j(T) = 1$ . Dengan argumen yang sama dengan sebelumnya, diperoleh  $n_{j-1}(T) \geq 3$  atau  $n_{j+1}(T) \geq 3$ . Karena  $a_3(T) = 1$ , maka  $j = i + 2$ . Artinya, kedua salinan- $K$  dengan satu titik internal berhubungan langsung ke salinan- $K$ . Selanjutnya, misalkan  $v$  titik tunggal di  $V_j(T)$ . Salah satu titik dari  $u$  dan  $v$  berhubungan langsung di  $T$  dengan dua titik internal. Tanpa menghilangkan keumuman, misal titik  $u$  berhubungan langsung di  $T$  dengan dua titik internal. Jadi  $u$  berhubungan langsung di  $T$  dengan paling banyak  $r - 1$  titik di  $V(K^i)$ . Sehingga, terdapat paling sedikit  $r - 1 \geq 5$  titik tidak

berhubungan langsung di  $T$  dengan titik  $u$ . Oleh karena itu, terdapat paling sedikit 5 titik berhubungan langsung di  $T$  dengan titik-titik di  $V_{i-1}(T) \cup V_{i+1}(T)$ , maka

$$n_{i-1}(T) + n_{i+1}(T) \geq 7$$

Akibatnya,

$$n_{i-1}(T) \geq 4 \text{ atau } n_{i+1}(T) \geq 4$$

ini kontradiksi dengan Lemma 8(b).

Dengan demikian, bukti teorema lengkap ■

*spanning trees in torus network*. Network 60(2012) 56-69.

### 3. PENUTUP

#### SIMPULAN

Dari pembahasan dapat disimpulkan:

1.  $T_1, T_2, \dots, T_k$  pohon-pohon perentang independen lengkap pada  $G$  jh  $T_1, T_2, \dots, T_k$  pisah-sisi pada  $G$  dan  $\forall v \in V(G)$  terdapat paling banyak satu  $T_i$  dengan  $d_{T_i}(v) > 1$ .
2. Terdapat  $r$  pohon perentang independen lengkap dalam graf  $K_{2r} \otimes P_n$ .
3. Begitu juga dengan graf  $K_{2r} \otimes C_n$  terdapat  $r$  pohon-pohon perentang independen lengkap.
4. Namun, graf  $K_{2r-1} \otimes C_n$  ternyata tidak memuat  $r$  pohon perentang yang independen lengkap.

#### SARAN

Dari produk Kartesius graf  $K_{2r} \otimes P_n$  dan  $K_{2r} \otimes C_n$  dapat mengetahui pohon perentang pada beberapa graf dan menarik untuk diteliti lebih lanjut mengenai pohon perentang yang independen lengkap selain graf tersebut.

#### DAFTAR PUSTAKA

- Budayasa. I. K. 2007. *Teori Graph dan Aplikasinya*. Surabaya: Unesa University Press.
- Darties. D, Gastineau. N, Togni. O. *Completely independent spanning trees in some regular graphs*. Discrete Applied Mathematics. 217 (2017) 163-174.
- R.Eka. S, Rahadjeng. B. 2014. *Dimensi metrik pada graf lintasan, graf komplit, graf sikel, graf bintang dan graf bipartit komplit*. Surabaya: MATH Unesa.
- T.Hasunuma, *Completely independent spanning trees in the underlying graph of line graph*. Discrete Mathematics. 234 (2001) 149-157.
- T.Hasunuma, *Completely independent spanning trees in maximal planar graphs*. Lecture Notes in Compute. Sci. 2573(2002) 235-245
- T.Hasunuma, C.Morisaka. *Completely independent*